

مطالعه آزمایشگاهی و تحلیلی اثر زاویه اریب بر ظرفیت باربری طاق آجری نیم‌دایره

سعید سینائی، اسماعیل ایزدی زمان‌آبادی*

گروه مهندسی عمران، واحد نجف آباد، دانشگاه آزاد اسلامی، نجف آباد، ایران.

تاریخچه داوری:

دریافت: ۱۴۰۰/۱۱/۱۰

بازنگری: ۱۴۰۱/۱۱/۱۰

پذیرش: ۱۴۰۱/۱۱/۱۸

ارائه آنلاین: ۱۴۰۱/۱۲/۱۹

کلمات کلیدی:

طاق آجری نیم‌دایره

زاویه‌ی اریب

مطالعه‌ی آزمایشگاهی

روش المان محدود غیرخطی

معیار شکست ویلام-وارنک

خلاصه: پوشش دهی فضاهای همواره یکی از مهم‌ترین مسائل در مهندسی معماری بوده است. یکی از انواع پوشش‌های به کار رفته در ساختمان‌های کهن، طاق آهنگ می‌باشد. در این مقاله به کمک مطالعات آزمایشگاهی و تحلیلی به بررسی اثر زاویه اریب بر ظرفیت باربری طاق آهنگ آنچه نیم‌دایره پرداخته می‌شود. مطالعات آزمایشگاهی در دو قسمت تعیین مشخصات صالح و تعیین ظرفیت باربری طاق انجام شده است. در این مرحله به دلیل محدودیت‌های آزمایشگاهی از مدل‌های مقیاس شده استفاده می‌شود. بارگذاری نمونه‌ها بصورت ثقلی با آهنگ ثابت در وسط دهانه به صورت تغییرمکان-کنترل فرض شده است. در ادامه مدل تحلیلی المان محدود غیرخطی مربوط به طاق آهنگ بر مبنای پارامترهای معیار شکست ویلام-وارنک توسعه یافته و مورد صحبت سنگی قرار می‌گیرد. در نهایت مطالعات تحلیلی و پارامتریک به منظور بررسی رفتاری طاق‌های اریب نیم‌دایره با زوایا و نسبت‌های ابعادی مختلف در دستور کار قرار گرفته است. پارامترهای رفتاری مهم مورد مطالعه در این تحقیق شامل بار شکست، بیشینه تغییرمکان و همچنین مکانیسم رفتاری طاق‌های مورب در مقایسه با طاق غیرمورب می‌باشد. نتایج تحقیق نشان می‌دهد که در تمامی مدل‌های مورد مطالعه، طاق مورب از ظرفیت باربری کمتری نسبت به طاق غیرمورب برخوردار است. بیشترین افت ظرفیت باربری در اثر تورب تا زاویه‌ی اریب ۳۰ درجه اتفاق افتاده و برای مقادیر اریبی بزرگ‌تر از ۳۰ درجه از حساسیت پارامترهای رفتاری سازه نسبت به تورب کاسته می‌شود. به طوری که برای طاق با نسبت ابعاد ۵/۵ با افزایش زاویه‌ی اریب از صفر تا ۳۰ درجه ۵۸ درصد و از ۳۰ درجه تا ۴۵ درجه ۱۸/۷۴ درصد ظرفیت باربری طاق کاهش می‌یابد.

۱- مقدمه

ุมاری بوده است. طاق آهنگ سازه‌ای است که برای پوشش فضاهای به کار می‌رود. این سازه عملاً از بسط یک قوس در عمق حاصل می‌شود. پر واضح است که شکل طاق وابسته به شکل هندسی قوسی است که از آن ساخته شده است. قوس‌های تاریخی آجری ایرانی با توجه به هندسه‌ی خاص شان دارای نامهای گوناگون هستند که می‌توان از انواع آن‌ها به قوس‌های نیم‌دایره، پنچ‌وهمفت (در سه نوع تن، معمولی و کند) و شاخ بزی (در سه نوع تن، معمولی و کند) اشاره کرد [۱]. طاق‌های نیم‌دایره که خود از تعدادی قوس نیم‌دایره حاصل می‌شود، طاقی است نیمه باربر و نیمه ترئینی که در اغلب اماکن تاریخی مشاهده می‌شود. اگر پایه‌های طاق به موازات یکدیگر نباشند یا به عبارتی دیگر رو به روی یکدیگر قرار نگرفته باشند طاقی که برای پوشش این فضا ساخته می‌شود یک طاق مورب می‌باشد. در این نوع طاق‌ها زاویه‌ای بین لبه طاق با راستای قائم ایجاد شده که به آن زاویه اریب (a) گفته می‌شود. شکل ۱-ب به صورت شماتیک یک طاق مورب نیم‌دایره

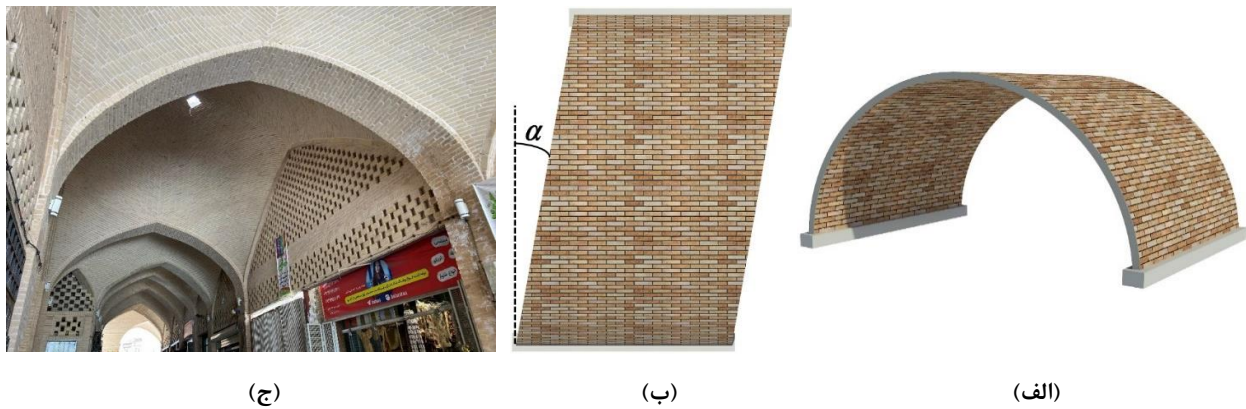
سازه‌های سنتی فراوان در سرتاسر این سرزمین به مهندسی معماری و سازه ایران اعتبار خاصی بخشیده است. از جمله این سازه‌های سنتی می‌توان به گبدها، طاق‌ها و قوس‌ها اشاره کرد. طاق‌ها بخشی از سازه‌های سنتی و معماری ایران هستند که در دوره‌های مختلف تاریخی اجرا شده‌اند. مطالعات بسیاری بر روی سازه‌های پوسته‌ای و تاریخچه‌ی آنها صورت گرفته و بررسی طاق‌های آجری نیز هیچ‌گاه دور از نظر نمانده است. با اینکه تاکنون مطالعات در حوزه‌های مختلف، توسط پژوهشگران بر روی رفتار انواع طاق‌ها انجام گرفته ولی باز هم با توجه امکانات امروزی و ضرورت به شناخت رفتار هرچه دقیق‌تر این سازه‌ها در راستای مرمت و نگهداری آنها، تحقیق و مطالعه در این زمینه برای پژوهشگران مورد توجه می‌باشد.

پوشش دهی فضاهای همواره از دیرباز یکی از مهم‌ترین دغدغه‌های

* نویسنده عهده‌دار مکاتبات: e.izadi@pci.iaun.ac.ir

حقوق مؤلفین به نویسنده‌گان و حقوق ناشر به انتشارات دانشگاه امیرکبیر داده شده است. این مقاله تحت لیسانس آفرینندگی مردمی (Creative Commons License) در دسترس شما قرار گرفته است. برای جزئیات این لیسانس، از آدرس <https://www.creativecommons.org/licenses/by-nc/4.0/legalcode> دیدن فرمائید.





شکل ۱. طاق آجری مورب نیم‌دایره، (الف) نمای سه بعدی، (ب) پلان و (ج) طاق آجری مورب واقع در بازارچه حکیم اصفهان (خیابان حکیم)

Fig. 1. Skew semi-circular brick vault, a) 3D view, b) plan view and c) skew brick vault in Isfahan (Hakin Street)

گستته در محیط نرم‌افزار 3DEC اثر زاویه‌ی اریب را برای ۴ نمونه از هندسه‌های گوناگون طاق‌های یک دهانه‌ی ساخته شده از سنگ به‌دست آوردن. در این مطالعه اثر حضور ملات و ضخامت آن در این تحقیق در نظر گرفته نشده و یک بار گستردگی خطی با شدت یکنواخت به‌صورت سراسری در ربع دهانه و به‌صورت تدریجی تا لحظه نظیر فروزیش طاق اعمال شده است. نتایج تحقیق نشان داد که با افزایش زاویه‌ی اریب رفتار پیچشی طاق مورب نیز افزایش می‌یابد و در نهایت سبب شکست طاق در بارهای کمتر می‌گردد. همچنین اثر زاویه‌ی اریب روی بار نهایی طاق‌های با المان‌های گستته و تفکیک‌پذیر (قطعه‌ای) به طور قابل ملاحظه‌ای نسبت به طاق‌های دایره‌ای بیشتر است. فورگکس^۳ و همکاران [۴] در سال ۲۰۱۷ به مطالعه‌ی حداقل ضخامت طاق‌های مورب نیم‌دایره پرداختند. روش تحلیلی ۳DEC آنها روش المان‌های گستته بوده و برای این منظور از نرم‌افزار ۳DEC بهره برده‌اند. حداقل ضخامت طاق مورب نیم‌دایره فقط تحت تأثیر وزن خود طاق محاسبه شده است. متغیرهای این پژوهش شامل زاویه اریب طاق، روش ساخت، اندازه واحدهای بنایی و مقاومت اصطکاکی بین واحدهای بنایی می‌باشد. نتایج تحقیق نشان می‌دهد که روش ساخت طاق‌های مورب و زاویه‌ی اریب آنها تأثیر به‌سزایی در حداقل ضخامت طاق دارد. فورگکس و همکاران [۵] در سال ۲۰۱۸ به بررسی اثر روش ساخت بر روی ظرفیت باربری طاق‌های آجری مورب پرداخته‌اند. ایشان به سه روش ساخت ساده، مارپیچی و لگاریتمی در طاق آهنگ‌های تاریخی در اروپا اشاره کرده‌اند. این سه روش دو نوع مارپیچی و لگاریتمی در معماری ایران دیده نمی‌شوند.

را نشان می‌دهد. مطابق با شکل ۱ بدینه است اگر $0^\circ = \alpha$ باشد شرایط طاق غیرمورب اتفاق می‌افتد.

در سقف بناهای تاریخی و بازار و بازارچه‌های مسقف طاق‌های مورب دیده می‌شوند. شکل ۱-ج نمونه یک طاق مورب را در بازارچه حکیم واقع در خیابان حکیم اصفهان نشان می‌دهد.

قدمت سازه‌های سنتی و به خصوص طاق‌ها به صدها و چه بسا به هزاران سال قبل بر می‌گردد. در سال‌های اخیر پژوهشگران متعددی به بررسی و مطالعه رفتار سازه‌ای و لرزه‌ای این دسته از بنایها پرداخته‌اند که در ادامه به گزیده‌ای از آنها اشاره می‌شود.

کارو و مورالس^۱ [۲] در سال ۲۰۰۷ به تحلیل عددی پل آجری مورب تحت بار ثقلی پرداخته‌اند. ایشان با ایده از پل راه‌آهن بارسلونا یک پل چند دهانه را تحت بار ثقلی در موقعیت‌های گوناگون قرار داده‌اند. نتایج این پژوهش نشان داد که شکل هندسی پل و مشخصات واحدهای تشکیل دهنده (آجرها) بر ظرفیت باربری آن بسیار موثر است. همچنین در اثر تحمل بار ثقلی، پایه‌های پل مورب در راستای عمود بر پایه‌ها دچار پیچش معناداری می‌شوند لذا سختی پایه‌ها برای تحمل این پیچش باید طراحی گردد. مهم‌ترین دستاوردهای این پژوهش ارائه یک مدل تحلیلی بین اثر تورب با تغییر مکان ایجاد شده در پایه‌های پل می‌باشد. سرهوسیس^۲ و همکاران [۳] در سال ۲۰۱۴ به بررسی اثر زاویه‌ی اریب بر روی رفتار مکانیکی طاق‌ها پرداخته‌اند. آنان به کمک مدل‌های تحلیلی سه بعدی و روش المان‌های

1 Caro and Morales

2 Sarhosis

پل‌ها، سطح مقطع پایه‌ها و شتاب زلزله‌های اعمالی بوده است. نتایج نشان دهنده تغییرات قابل ملاحظه در شکل پذیری، مقاومت و سختی سازه هنگام تحلیل لرزه‌ای است. به عنوان نمونه در هنگام اعمال نیروی زلزله با رشد و توسعه ترک‌ها از سختی سازه به طور پیوسته کاسته ولی شکل پذیری سازه برای امکان تغییر مکان‌های بزرگ‌تر باقی می‌ماند. دل‌اندیس^۵ و همکاران [۱۱] در سال ۲۰۲۱ به بررسی تاثیرات نقص‌های احتمالی طاق پاویون بر روی رفتار سازه‌ای آن پرداخته‌اند. از روش المان‌های گسسته برای شبیه سازی عددی و سه بعدی و مدل‌های مقیاس شده‌ی آزمایشگاهی ساخته شده به روش پرینت سه بعدی برای این منظور استفاده شده است. بر اساس نتایج این تحقیق نقص‌های هندسی مانند نشست افقی تکیه‌گاه بر ظرفیت سازه موثر بوده و مسیر توسعه ترک را تغییر می‌دهد. حجازی و صادقی [۱۲] در سال ۲۰۲۲ به مطالعه ارتباط بین اثر نشست و دوران پایه‌ها با چینش آجرها در ساخت طاق آهنگ پرداخته‌اند. عملکرد طاق آجری با چینش‌های رومی و ضربی که متدالو ترین الگوهای ساخت در سازه‌های سنتی ایران است، بررسی می‌گردد. نتایج نشان می‌دهد در دوران پایه‌ها چینش آجرها به روش ضربی به مراتب عملکرد بهتری نسبت به چینش آجرها به روش رومی در طاق پنج او هفت و شاخ بزی دارد ولی در طاق نیم دایره چینش رومی از ضربی بهتر است. محمودی و همکاران [۱۳] در سال ۲۰۲۲ به الهام از مسجد گناباد به مطالعه رفتار قوس‌ها و طاق‌های آجری پنج او هفت پرداخته‌اند. هدف اصلی در تحقیق ایشان، تخمین ظرفیت باربری جانبی برای این دسته از سازه‌های است. مشخصات مصالح در آزمایشگاه بدست آمده و سایر تحلیل‌ها به روش المان محدود انجام شده است. نتایج نشان می‌دهد نسبت ضخامت به پهنه‌ای پایه در حالت بهینه برای قوس یا طاق پنج او هفت برای عملکرد بهتر در برابر با بار جانبی ۰/۲۴ می‌باشد. در سال ۲۰۲۳ مطالعه رفتار طاق آهنگ آجری در اثر نشست پایه با الگوهای چینش آجر بصورت شعاعی و قائم توسط روسی^۶ و همکاران [۱۴] ادامه پیدا کرده است. این مطالعه بصورت آزمایشگاهی و با مقیاس ۱:۵ برای اجزای تشکیل دهنده و ملات سیمان استفاده شده است. نتایج نشان می‌دهد نحوه آرایش آجرها تاثیر چشمگیری بر الگوهای توسعه‌ی ترک‌ها، مکانیزم شکست و ظرفیت باربری دارد. مروری بر ادبیات فنی موجود در زمینه‌ی طاق آهنگ‌های آجری ایرانی نشان می‌دهد ارزیابی ظرفیت باربری طاق آهنگ آجری نیم دایره و اثر تورب بر رفتار آن مورد توجه قرار نگرفته و لذا بررسی تاثیر زاویه اریب بر رفتار سازه‌ای این دسته از بنای‌های تاریخی در زمرة چالشهای تحقیقاتی

این پژوهشگران به مقایسه ظرفیت باربری این سه روش ساخت در برای یک بار خطی یکنواخت که کل طول طاق را در بر می‌گیرد، پرداخته‌اند. نتایج این تحقیق نشان می‌دهد که برای طاق‌های ساخته شده از روش ساده با افزایش زاویه اریب لنزش بین واحدهای بنایی افزایش یافته و بار شکست کاهش می‌باید. ناگاس^۱ و همکاران [۶] در سال ۲۰۱۸، رفتار پل‌های قوسی شکل را تحت نشست پایه بوسیله‌ی تحلیل المان محدود مطالعه کرده‌اند. نتایج این پژوهش نشان می‌دهد که نشست پایه در پل‌های قوسی شکل بنایی تحت بار بهره‌برداری موجب تغییر شکل‌های بسیار زیاد در سازه شده که پایداری آن را به خطر می‌اندازد. آنجلیو^۲ و همکاران [۷] در سال ۲۰۱۹ به یک مدل پارامتری جدید برای طاق‌های بنایی نواریندی شده دست یافته‌ند. با بسط روابط ریاضی مبتنی بر المان محدود بر مختصات سازه و حل تعداد بسیاری از مدل‌ها سرانجام این مطالعه موفق به ایجاد یک مدل پارامتری شد که تنها با تغییر در پارامترهای ورودی طاق چهار وجهی یا شش وجهی مدل و تحلیل می‌گردد. آفرونو^۳ و همکاران [۸] در سال ۲۰۱۹ به روش المان محدود با دیدگاه میکرو به بررسی اثر چینش آجرها بر رفتار طاق آهنگ‌ها و طاق‌های متقطع پرداخته‌اند. پارامتر اصلی این تحقیق عکس العمل سازه با چینش‌های مختلف در برای نشست پایه است. مشاهدات نشان می‌دهد الگوهای ساخت مختلف بر پاسخ عکس العمل‌های تکیه گاهی و سختی سازه موثر است. حجازی و سلطانی [۹] در سال ۲۰۲۰ به بررسی تحلیلی پارامترهای مؤثر بر رفتار سازه‌ای کونال و کنو در طاق آهنگ‌های آجری ایرانی پرداختند. نتایج حاصل از تحلیل‌ها نشان داد که تحت بار ثقلی، قرارگیری کنوها به صورت همسطح با طاق‌های سازه مناسب‌ترین حالت اجرای کنو می‌باشد که ظرفیت باربری بیشتری دارد. در تحلیل این سازه‌ها تحت بار زلزله، همه نمونه‌ها دچار شکست شده و کنو تاثیر معناداری روی رفتار لرزه‌ای ایجاد نکرده است. اثر کنو در حضور سایر بارها از جمله نشست پایه‌ها، دوران پایه‌ها و حرارت (تغییرات دما) نیز مورد بررسی قرار گرفته است. تحلیل لرزه‌ای غیرخطی پل‌های آجری چند دهانه مورد توجه زامپیری^۴ و همکاران [۱۰] در سال ۲۰۲۱ قرار گرفته است. ایشان اثر شکل هندسی دهانه‌ها و مصالح مصرفی را در پایداری لرزه‌ای این دسته از سازه‌ها بررسی نمودند. هندسه‌ی پل‌ها عملاً طاق‌های نیم دایره‌ای است که کونال سازی شده است. متغیرهای این تحقیق به طور خاص ابعاد پرکننده‌ها روی دهانه

1 Naggase

2 Angjeliu

3 Alfonso

4 Zampieri

شماره روود.

۱:۴ روی هر یک از ابعاد آجر فشاری مرسوم با ابعاد تقریبی $22/4 \text{ cm}^3$
 $5/6 \times 10/4 \times 6/8 \text{ آجرهای مقیاس شده این مقاله با ابعاد تقریبی } 5/6 \text{ cm}^3$
 $2/6 \times 1/7 \times 6/8 \text{ حاصل می شود. کلیه آزمایش ها در مجموعه آزمایشگاه های}$
 25000 kg مهندسی عمران دانشگاه آزاد نجف آباد و با دستگاه کشش-فشار (UTM-25) انجام شده است.

اولین گام در ساخت منشورهای ترکیب آجر و ملات که به آنها دیوارهای آجری^۱ نیز گفته می شود، تعیین نسبت آب به گچ نرمال ($\frac{W}{G}$) بر اساس [۱۶] BS EN 13279-2 می باشد. مطابق با آزمایش مذکور مقدار نسبت آب به گچ برابر با $65/65$ بدست آمده است. جهت تعیین شاخص های مکانیکی صالح، دیوارها (منشورها) آجری با نسبت آب به گچ $65/65$ بر اساس استانداردهای مرتبط ساخته شده است (شکل ۳). مدول الاستیسیته و مقاومت فشاری از آزمایش فشار درون صفحه تک محوره مشخص می شود. مقاومت کششی دیوارهای مقیاس شده به صورت غیر مستقیم و از آزمایش خمس چهار نقطه ای در دو حالت عمود بر درز ملات و موازی با درز ملات بدست می آید. تعداد نمونه ها و شکست آنها بعد از آزمایش در شکل ۲ دیده می شود.

از میانگین نتایج حاصل شده از نمونه های آزمایشگاهی می توان خصوصیات مکانیکی صالح را مطابق با جدول ۱ جمع بندی کرد.

۲- مطالعه آزمایشگاهی طاق نیم دایره

یک مدل طاق آجری غیر مورب با دهانه (D) 350 mm ، عمق (L) 700 mm (نسبت ابعاد ۲) و ضخامت (t) 26 mm با دو عدد فراوانی تحت آزمایش تعیین بار شکست قرار می گیرد. در این مدل از الگوی ساخت رومی برای بافت طاق (ساختار چینش آجرها) استفاده شده است. پارامترهای طاق نیم دایره و نمونه های ساخته شده مطابق شکل ۴ می باشد.

ساخت نمونه های در آزمایشگاه به کمک یک قالب فلزی انجام شده که الزامات قوس نیم دایره را مطابق با شکل ۴-ب ارضاء می کند [۲۱].

۱- محور عمودی به فاصله نصف دهانه و محور افقی عمود بر محور قائم ترسیم می گردد.

۲- دو پایه از نقاط A و B به فاصله نصف دهانه از محور عمودی به موازات هم رسم می گردد.

۳- از نقطه O مرکز تقاطع دو محور افقی و عمودی، شاعع R به اندازه نصف دهانه از نقطه A یا B شروع و پس از عبور از نقطه C یعنی خیز، به

مهم ترین هدف این مقاله ارائه شناخت بهتر و دقیق تر طاق های آجری مورب است چرا که بدون شک با علم هر چه دقیق تر از رفتار سازه های سنتی موجود می توان اقدامات بهتر و صحیح تری در راستای حفظ، بهسازی و مرمت آنها انجام داد. در این مقاله به صورت آزمایشگاهی و تحلیلی به مقایسه ظرفیت باربری و عملکرد سازه ای طاق های آجری مورب و غیر مورب نیم دایره پرداخته می شود. جهت افزایش فراوانی نمونه ها اثر نسبت ابعاد طاق (نسبت دهانه به عمق طاق) نیز در نظر گرفته می شود. به دلیل محدودیت های آزمایشگاهی از مدل های مقیاس شده استفاده می گردد. جهت تحلیل عددی از روش المان محدود غیر خطی و تحلیل ماکرو در محیط نرم افزار ANSYS [۱۵] استفاده می شود. محل تشکیل مفاصل پلاستیک، ظرفیت باربری در تحمل یک بار خطی یکنواخت، کانتورهای تنش طاق ها، بیشینه تغییر مکان تاج طاق تا لحظه نظیر فرو ریزش طاق و مقایسه هر یک از موارد در دو حالت مورب و غیر مورب جهت بحث روی نقش زاویه اریب، از جمله مسائلی است که در این مقاله مورد توجه قرار گرفته است.

۲- مطالعات آزمایشگاهی

در این مقاله مطالعات آزمایشگاهی در دو مرحله انجام می شود. ابتدا به استخراج خواص مکانیکی صالح پرداخته شده که برای توسعه مدل تحلیلی المان محدود مورد نیاز است. در مرحله بعد به مطالعات آزمایشگاهی روی مدل آزمایشگاهی طاق آجری نیم دایره پرداخته می شود که نتایج این مطالعات در صحت سنجی مدل المان محدود کاربرد خواهد داشت.

۲- خصوصیات مکانیکی صالح

بنهای آجری از ترکیب آجر بعنوان واحدهای سازنده و ملات خاک رس یا ملات گچ بعنوان ملات بین واحدها ساخته می شوند. در رفتار هرچه بهتر و دقیق تر یک بنای آجری قطعاً وابسته به شناخت هرچه بهتر عناصر تشکیل دهنده آن است. از همین رو به کمک استانداردهای بریتانیا، شاخص های مقاومتی برای منشورهای ترکیب آجر و ملات گچ تعیین می گردد. طبق استانداردهای مذکور برای تعیین مقاومت فشاری، مقاومت کششی و مدول الاستیسیته منشورهایی ساخته و مورد آزمایش قرار می گیرند. در طاق های الاستیسیته منصورهایی ساخته و مورد آزمایش قرار می گیرند. در طاق های مفروض این مقاله از آجرهای فشاری رسی بعنوان واحدهای سازنده و از ملات گچ بعنوان ملات بین آجرها استفاده می شود. به دلیل محدودیت های آزمایشگاهی و کنترل هزینه های آزمایش در ساخت نمونه های از مدل های مقیاس شده با مقیاس ۱:۴ استفاده می شود. به عبارت دیگر با لحاظ مقیاس



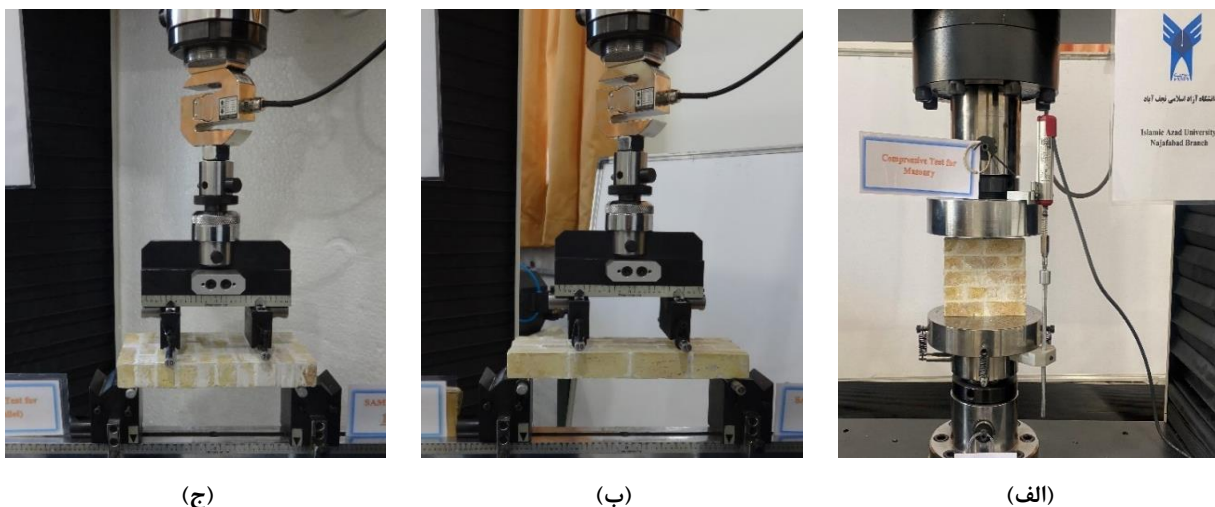
شکل ۲. نمونه های آزمایش شده: (الف) نمونه های شکسته شده در سنجش مقاومت فشاری، (ب) نمونه های شکسته شده در سنجش مقاومت خمشی در حالت عمودی با درز ملات خمشی در حالت عمود بردز ملات و (ج) نمونه های شکسته شده در سنجش مقاومت خمشی در حالت موازی با درز ملات

Fig. 2. Experimental specimens: a) specimens in compressive strength test, b) specimens in flexural strength test (perpendicular state), c) specimens in flexural strength test (parallel state)

جدول ۱. خواص مکانیکی مصالح

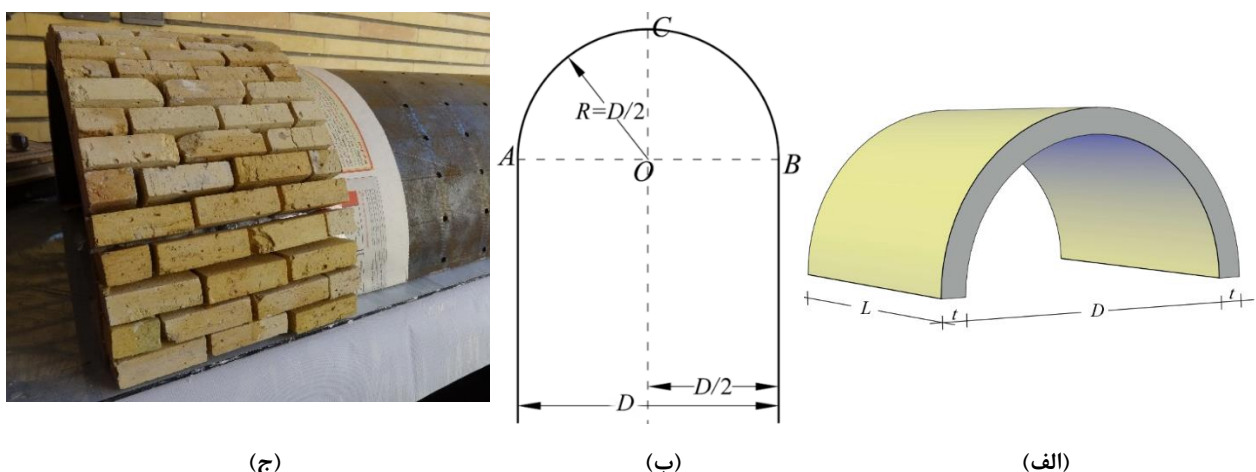
Table 1. Mechanical properties of materials

مشخصه	واحد	استاندارد	تعداد نمونه آزمایش شده	مقدار
جرم مخصوص (ρ)	kg/m^3	BS EN 13279-2 [16]	۳	۱۶۱۲/۴۴
مدول الاستیسیته (E)	MPa	BS EN 1881-121 [17]	۴	۸۲۹/۸۵
ضریب پواسون (ν)	-	-	-	۰/۱۷
مقاومت کششی (f_t)	MPa	BS EN 1052-2 [19]	۱۴	۱/۱
مقاومت فشاری (f_c)	MPa	BS EN 1052-1 [20]	۴	۷/۶۲



شکل ۳. آزمایش‌های تعیین خصوصیات مکانیکی مصالح: (الف) سنجش مقاومت فشاری، (ب) سنجش مقاومت خمشی (کشش غیرمستقیم) در حالت عمود بر درز ملات و (ج) سنجش مقاومت خمشی (کشش غیرمستقیم) در حالت موازی با درز ملات

Fig. 3. Mechanical properties tests: a) compressive strength, b) flexural strength (perpendicular) and c) flexural strength (parallel)



شکل ۴. طاق نیم‌دایره: (الف) طرح هندسی قوس نیم‌دایره [۲۱] و (ج) ساخت نمونه قبل از تزریق ملات گچ

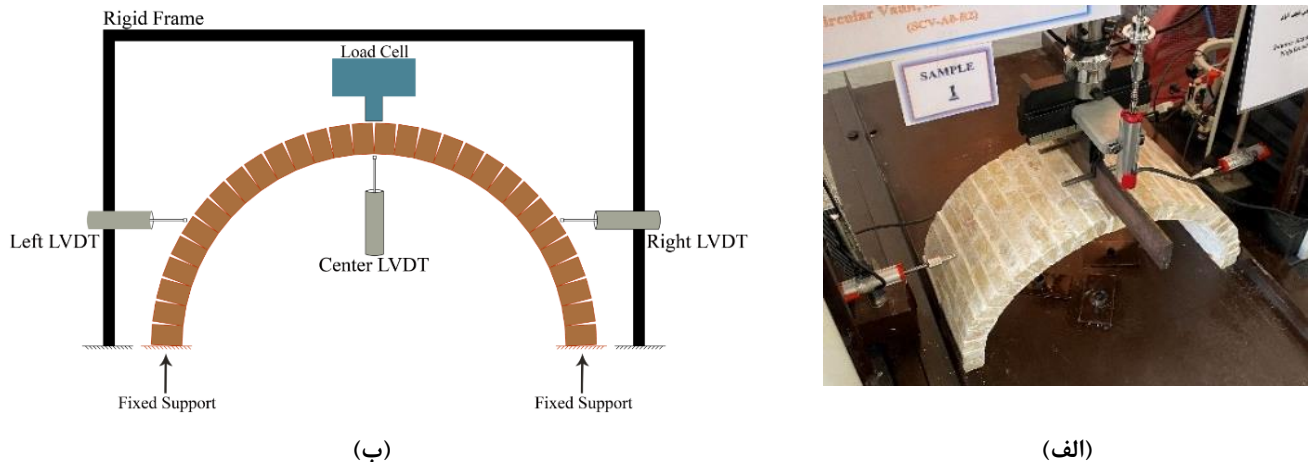
Fig. 4. Semi-circular vault: a) schematic design, b) geometric design of semi-circular arch and c) experimental specimen before injection gypsum mortar

شرایط تکیه گاهی به صورت گیردار برای هر دو طرف فراهم شده و آزمایش به صورت تغییرمکان-کنترل^۱ انجام شده است. یک صفحه صلب فولادی نیز در زیر سازه قرار گرفته تا شرایط تکیه گاهی ثابت را تأمین کند. لازم به ذکر است یک بار خطی یکنواخت با آهنگ ثابت تا لحظه‌ی نظیر شکست در تاج طاق (نصف دهانه) سازه اعمال می‌شود. از سه سنسور ثبت تغییر مکان

صلع مقابل ختم و نیم‌دایره رسم می‌شود.

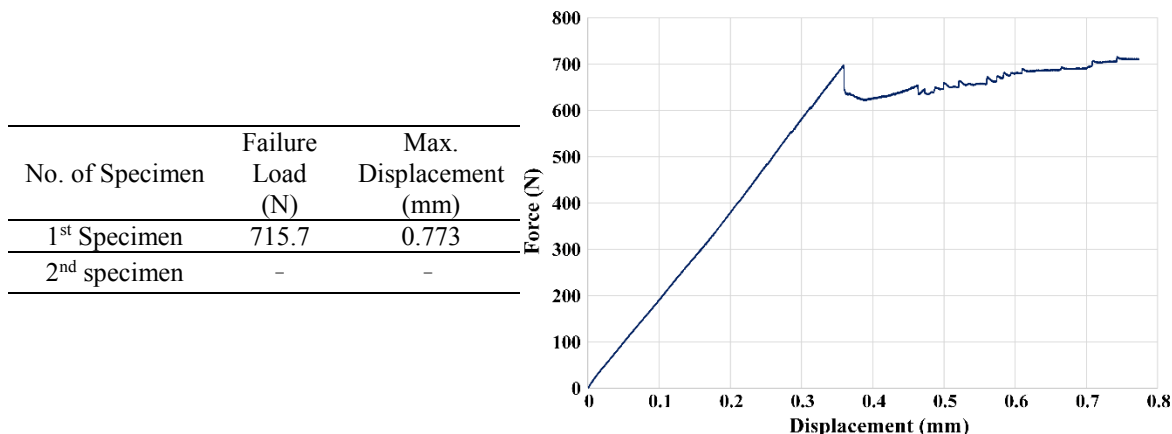
شکل ۴-ب نحوه ترسیم یک قوس نیم‌دایره را نشان می‌دهد. در شکل ۴-ب نقطه C ، راس یا تاج قوس، نقاط A و B ، پاکارهای قوس هستند. منظور از D قطر قوس نیم‌دایره یا همان دهانه قوس و R نیز شعاع قوس می‌باشد.

ملات بین واحدهای آجری با نسبت آب به گچ ۶۵/۰ تهیه می‌شود.



شکل ۵. طاق آجری نیم‌دایره غیرمربوط با نسبت ابعاد ۲: (الف) آزمایش اعمال بار و (ب) پیکربندی نمونه آزمایشگاهی

Fig. 5. Non-skew semi-circular brick vault with $R=2.0$: a) loading test and b) experimental set-up



شکل ۶. نمودار نیرو-تغییرمکان و نتایج طاق آجری نیم‌دایره غیر مربوط با نسبت ابعاد ۲/۰

Fig. 6. Force-displacement diagram and results of non-skew semi-circular brick vault with $R=2.0$

۲/۵ تنی برای اعمال بار و دستگاه ثبت کننده داده‌ها^۳ برای خروجی سنسورها و لودسل استفاده شده است. از خروجی سنسور مرکزی که تغییرمکان تاج طاق می‌باشد، نمودار نیرو-تغییرمکان برای دو نمونه از مدل معروفی شده طاق ارائه می‌شود (شکل ۶).

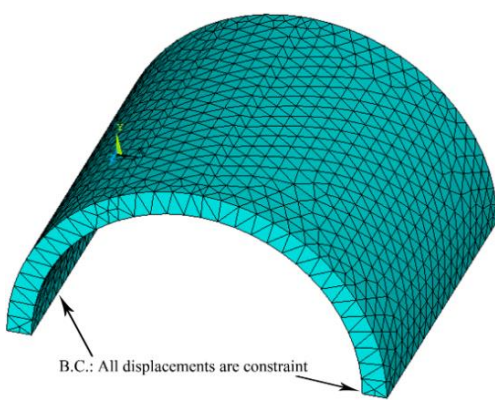
لازم به ذکر است که نمونه‌ی دوم با عبور از بیشینه ظرفیت برابری با یک افت ناگهانی شکسته شده و به همین دلیل قبل از تغییرمکان‌های

(LVDT^۱) برای ثبت تغییر مکان طاق تحت تحمل بار استفاده می‌شود. شکل ۵ آزمایش تعیین بار شکست سازه و پیکربندی انجام آزمایش را نشان می‌دهد.

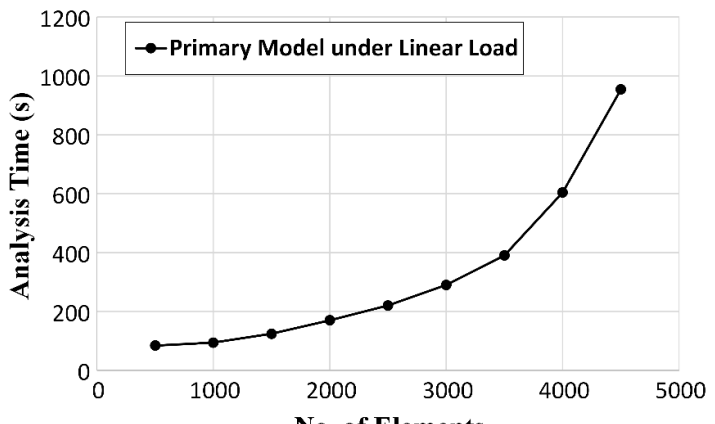
مطابق با شکل ۵، یک سنسور در نیم دهانه چپ، یک سنسور در نیم دهانه راست و یک سنسور در تاج (وسط دهانه) تعیین شده است. از لودسل^۲

1 Linear Variable Differential Transformer

2 Load Cell



(ب)



(الف)

شکل ۷. (الف) شبکه بندی و (ب) نمودار زمان تحلیل در برابر تعداد المان

Fig. 7. a) meshing, b) analysis time versus No. of elements diagram

به علت ایجاد شباهت هرچه بیشتر شرایط مدل تحلیلی با مدل آزمایشگاهی و همچنین بر اساس یافته‌های حجازی و سلطانی [۹]، بار خطی بر روی سطحی به عرض 0.01 m و در طولی برابر با عمق طاق اعمال می‌شود. برای محاسبه بار شکست سازه تحت بار ثقلی یکنواخت در وسط دهانه، از تحلیل استاتیکی غیرخطی استفاده شده است. بار در نقطه اثر خود اعمال و با آهنگ ثابت و تدریجی تا لحظه شکست سازه افزایش می‌یابد. در حل غیرخطی داده‌ها از روش نیوتن-رفسون استفاده شده است.

به منظور اطمینان از تعداد کافی و مناسب تعداد المان‌ها در تحلیل المان محدود، همگرایی پاسخ‌ها در تحلیل‌های متنوع مورد بررسی قرار گرفته است. بدین منظور نتایج تغییرمکان قائم دو نقطه دلخواه برای شبکه‌بندی‌های مختلف با اندازه المان‌های متغیر با یکدیگر مقایسه می‌شوند. هرگاه تفاوت نتایج حاصل شده در تحلیل‌های مقدماتی کمتر از ۵٪ باشد اندازه و تعداد المان به همگرایی رسیده و مقدار بهینه اندازه المان حاصل می‌شود (جدول ۲). بدینهی است انتخاب اندازه‌های کوچک‌تر از مقدار بهینه منطقی نیست چرا که زمان پردازش و تحلیل سازه بیش از حد طولانی می‌گردد. مقدار بهینه اندازه المان در تحلیل‌های مقدماتی نشان می‌دهد برای مدل‌های این مقاله تعداد المان‌ها در بازه‌ی بین ۱۰۰۰ تا ۳۵۰۰ المان می‌باشد (شکل ۷). تعداد المان در بازه معرفی شده بستگی به زاویه اریب و نسبت ابعاد سازه دارد. همان‌طور که در شکل ۷ دیده می‌شود در صورت انتخاب بیش از ۳۵۰۰

بزرگتر متوقف می‌شود. پس از بررسی نمونه‌ی شکسته شده مشخص گردید که این نمونه به علت نقص ضمن ساخت و وجود درز سرد در فصل مشترک بین ملات و آجر چنین رفتاری داشته است. بر همین اساس نمونه‌ی دوم این مدل حذف و رفتار نمونه‌ی اول به عنوان رفتار این مدل طاق در نظر گرفته می‌شود.

۳- توسعه مدل المان محدود، معیار شکست و صحت سنجی

۳-۱ توسعه مدل المان محدود

جهت تحلیل عددی از روش المان محدود غیرخطی و نرم‌افزار ANSYS استفاده شده است. از المان‌های چهار گره‌ای چهار وجهی و هشت گره‌ای شش وجهی از نوع Solid65 با سه درجه آزادی انتقالی در هر گره استفاده شده است. المان Solid65 به همراه معیار شکست ویلام-وارنک [۲۲] قادر است رفتار مصالح ترد و شکننده مانند مصالح بنایی و آجری را به خوبی مدل کند. در تحلیل طاق‌ها از دیدگاه ماکرو برای مدل‌سازی عددی استفاده شده است. در این دیدگاه آجرها، ملات بین آنها و سطح تماس با یکدیگر به صورت یکپارچه و بر اساس خصوصیات مصالح همگن فرض می‌شوند. شرایط مرزی برای پایه‌های طاق به صورت گیردار مفروض است. نحوه‌ی اعمال بار خطی بر روی سازه در مدل المان محدود باید به گونه‌ای باشد که تمرکز تنش در زیر نقاط اثر بار ایجاد نشود. بدین منظور

جدول ۲. همگرایی تعداد المان

Table 2. Convergence of No. of elements

اندازه المان (m)	تعداد المان	نقطه دلخواه ۱ (m)	تغییر مکان قائم نقطه دلخواه ۲ (m)	نقطه ۱ (m)	درصد اختلاف برای نقطه ۲
0.05	296	6.68e-08	7.30e-08	-	-
0.04	404	7.30e-08	8.10e-08	8.4	9.87
0.03	703	7.20e-08	7.50e-08	1.36	7.4
0.02	1397	7.00e-08	7.20e-08	2.7	4

$$\beta_t = 0.15 \quad (6)$$

المان به طور بسیار شدیدی به زمان پردازش تحلیل افزوده شده در حالی که دقت تحلیل تغییر محسوسی نخواهد داشت.

$$\beta_c = 0.75 \quad (7)$$

۳-۲- معیار شکست

که در روابط ۱ تا ۷، f_1 ، f_c ، f_{cb} ، f_t ، TFC ، $|\sigma_h^a|$ و β_t به ترتیب، مقاومت کششی تک محوری، مقاومت فشاری تک محوری، مقاومت فشاری دو محوری، مقاومت فشاری برای حالتی از فشار دو محوری که بر روی تنش هیدرواستاتیک قرار داده می‌شود، مقاومت فشاری، برای حالتی از فشار تک محوری که بر روی تنش هیدرواستاتیک قرار داده می‌شود، تنش هیدرواستاتیک، ضریب افزایش سختی ترک در کشش، ضریب جابه‌جایی برشی ترک باز و ضریب جابه‌جایی برشی ترک بسته هستند.

در تحلیل‌های عددی از معیار شکست ویلام-وارنک استفاده شده که برای مدل‌سازی رفتار مصالح بنایی مناسب است. تئوری و جزئیات این معیار شکست و شاخص‌های لازم آن برای دیوارهای ترکیب آجر و گچ جهت استفاده در نرم‌افزار المان محدود به کمک مقادیر جدول ۱ و بر اساس روابط ۱ تا ۵ [۲۳]، مقدار پیشنهاد شده در رابطه‌ی ۶ [۲۴] و رابطه‌ی ۷ [۲۵] محاسبه و در جدول ۳ نشان داده شده است.

$$f_{cb} = 1.2f_c \quad (1)$$

$$f_1 = 1.45f_c \quad (2)$$

$$f_2 = 1.725f_c \quad (3)$$

$$|\sigma_h^a| \leq 3^{1/2}f_c \quad (4)$$

$$TFC = \text{should be calculated}, f_1 = 1 \quad (5)$$

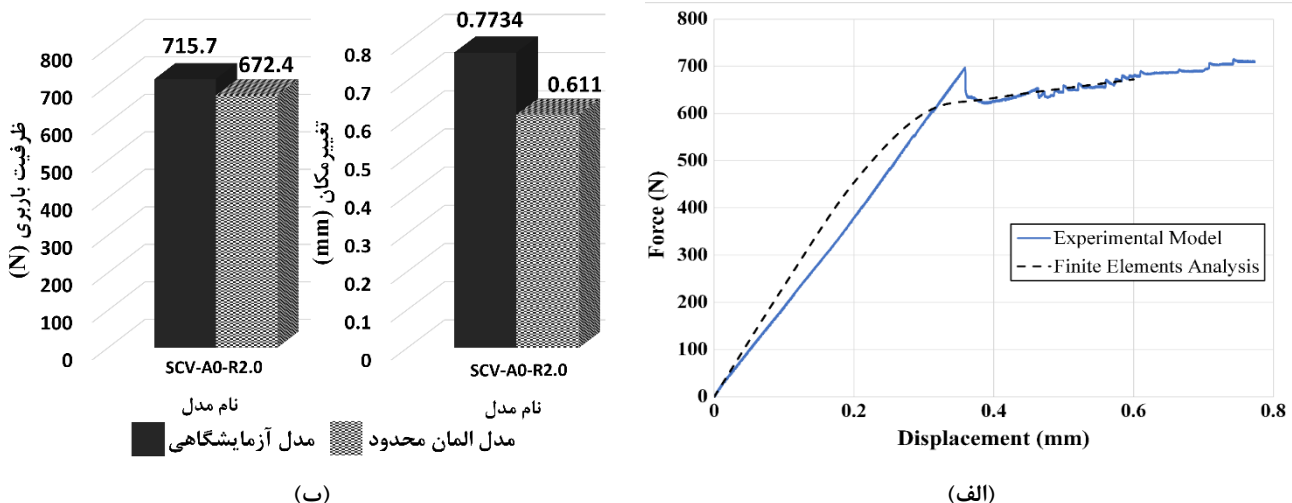
$$TFC = 0.6, f_1 \neq 1$$

به‌منظور صحبت‌سنگی مدل المان محدود توسعه یافته، نتایج مدل آزمایشگاهی با نتایج مدل تحلیلی مقایسه شده است. یک مدل المان محدود با مشخصات هندسی مشابه با مدل آزمایشگاهی و بر اساس فرضیات روش المان محدود و معیار شکست مدل‌سازی می‌شود. بارگذاری بصورت خطی و ثقلی در وسط دهانه با آهنگ ثابت و بصورت تغییر مکان-کنترل به مدل تحلیلی اعمال شده و تا لحظه نظری فروبریزش ادامه می‌یابد. مطابق با شکل ۸ مطابقت قابل قبولی بین نتایج مدل آزمایشگاهی با مدل المان محدود دیده می‌شود. مطابقت رفتار در نمودار نیرو-تغییر مکان مطابق با شکل ۸-الف و مطابق با شکل ۸-ب، اختلاف ۶٪ در بار شکست و ۲۰/۹۹٪ در بیشینه تغییر مکان بین تحلیل عددی با نمونه آزمایشگاهی به

جدول ۳. معرفی پارامترهای معیار شکست ویلام-وارنک برای منشورهای ترکیب آجر و ملات گج

Table 3. Parameters of Willam-Warnke failure criterion for prisms

β_t	β_C	f_t	f_c	f_{cb}	$ \sigma_h^a $	f_I	f_2	TFC	پارامترهای معیار شکست ویلام-وارنک
۰/۱۵	۰/۷۵	۱/۱	۷/۶۲	۹/۱۴۴	۱۲/۲۰	۱۱/۰۵	۱۳/۱۴	۰/۶	مقدار



شکل ۸. نتایج طاق آجری نیم‌دایره غیرمدور با نسبت ابعاد ۲: (الف) مقایسه نتایج آزمایشگاهی با تحلیل عددی و (ب) مقایسه مقادیر بیشینه

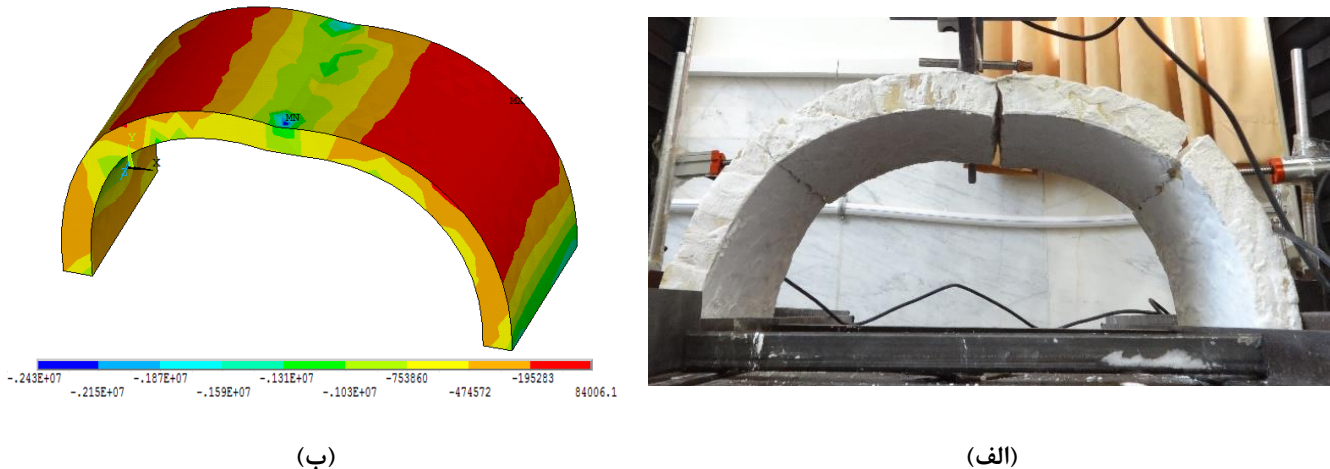
Fig. 8. Results of non-skew semi-circular brick vault with $R=2.0$: a) comparison between experimental results and numerical results, b) comparison the maximum results

فقط قادر است محل تقریبی وقوع ترک را نشان داده و پس از آن تحلیل متوقف می‌شود [۲۶].

۴- مطالعات تحلیلی المان محدود
 پس از اعتبارسنجی نتایج، تحلیل المان محدود غیرخطی برای طاق‌های معرفی شده در این قسمت مطابق با جدول ۴ صورت گرفته است. در الگوی نام‌گذاری اختصاری نمونه‌ها مطابق با جدول ۴، منظور از Semi- (SCV) (Circular Vault) طاق نیم دایره، عدد روبه‌روی A (Angle) (Madar) زاویه اریب و مقدار روبه‌روی R (Aspect Ratio) نسبت ابعاد طاق می‌باشد. شکل ۱۰ پارامترهای مطرح شده را روی یک طاق سه بعدی بصورت شماتیک نشان می‌دهد. طاق‌های آجری نیم‌دایره مقایس شده با

مدل المان محدود و معیار شکست اعتبار می‌بخشد.

مطابق با آنچه در شکل ۹ دیده می‌شود هم در مدل آزمایشگاهی و هم در مدل عددی سازه با سه مفصل پلاستیک مکانیزم شده و از باربری خارج می‌شود. مکان هندسی ترک‌ها منطبق بر کانتور توزیع تنش بوده و ترک در مکان‌های بیشینه توزیع تنش اتفاق افتاده است. انطباق نسبی محل وقوع ترک با مکان هندسی بیشینه تنش نیز خود بر نتایج تحلیل‌های عددی اعتبار می‌بخشد. تقارن ترک‌ها در طرفین طاق و زیر بار نشان دهنده اعمال صحیح و متقارن نیرو و گیرداری متوازن و صحیح تکیه گاه‌ها می‌باشد. توزیع تنش طاق در اثر تحمل بار ثقلی خطی یکنواخت نشان می‌دهد مدل تحلیلی توسعه یافته توانایی نمایش محل دقیق وقوع ترک و احتمال ترک زیر بار متمرکز را نداشته و تحلیل تا تغییر مکان‌های بزرگتر پیش نمی‌رود. المان Solid65



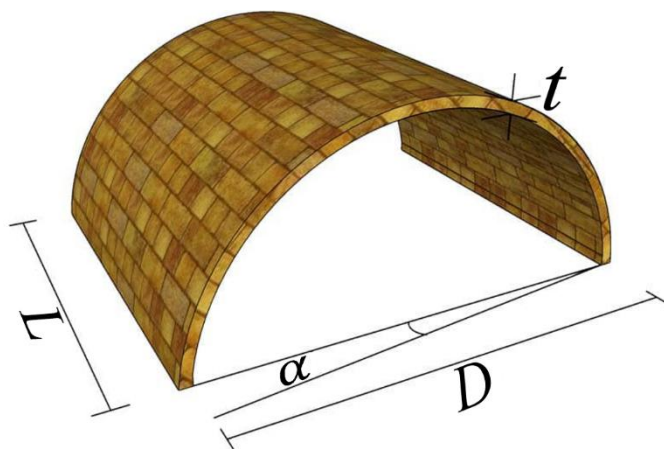
شکل ۹. ترک‌های طاق آجری نیم‌دایره غیرمدور با نسبت ابعاد ۲: (الف) نمونه آزمایشگاهی و (ب) توزیع تنش ناشی از بار ثقلی وسط دهانه بر اساس معیار ویلام-وارنک

Fig. 9. Cracks of non-skew semi-circular brick vault with $R=2.0$: a) experimental specimen and b) contour stress for mid-span load based on Willam-Warnke failure criterion

جدول ۴. مشخصات هندسی طاق‌های نیم‌دایره مورد مطالعه

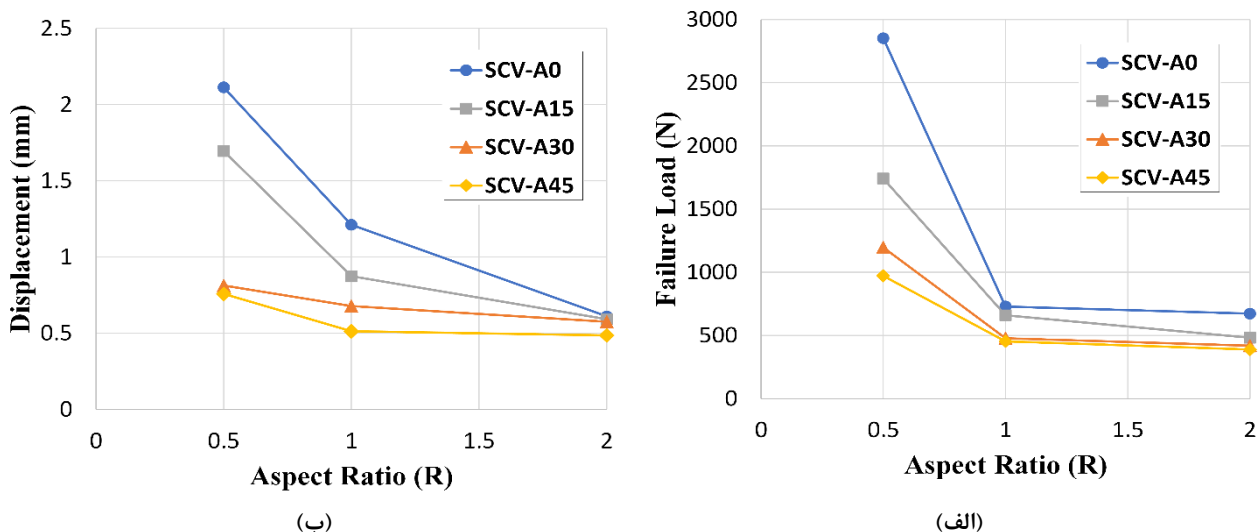
Table 4. Geometric properties of semi-circular vaults

نماد اختصاری	عمق طاق (L) (mm)	دهانه‌ی طاق (D) (mm)	زاویه اربیپ (θ) ^(۹)	نسبت ابعاد ($\frac{D}{L}$)
SCV-A0-R0.5	۷۰۰	۳۵۰	۰	۰/۵
SCV-A0-R1.0	۳۵۰	۳۵۰	۰	۱
SCV-A0-R2.0	۱۷۵	۳۵۰	۰	۲
SCV-A15-R0.5	۷۰۰	۳۵۰	۱۵	۰/۵
SCV-A15-R1.0	۳۵۰	۳۵۰	۱۵	۱
SCV-A15-R2.0	۱۷۵	۳۵۰	۱۵	۲
SCV-A30-R0.5	۷۰۰	۳۵۰	۳۰	۰/۵
SCV-A30-R1.0	۳۵۰	۳۵۰	۳۰	۱
SCV-A30-R2.0	۱۷۵	۳۵۰	۳۰	۲
SCV-A45-R0.5	۷۰۰	۳۵۰	۴۵	۰/۵
SCV-A45-R1.0	۳۵۰	۳۵۰	۴۵	۱
SCV-A45-R2.0	۱۷۵	۳۵۰	۴۵	۲



شکل ۱۰. طرح شماتیک سه بعدی از طاق آجری و معروفی پارامترهای مورد مطالعه

Fig. 10. 3D schematic of brick vault and studied parameters



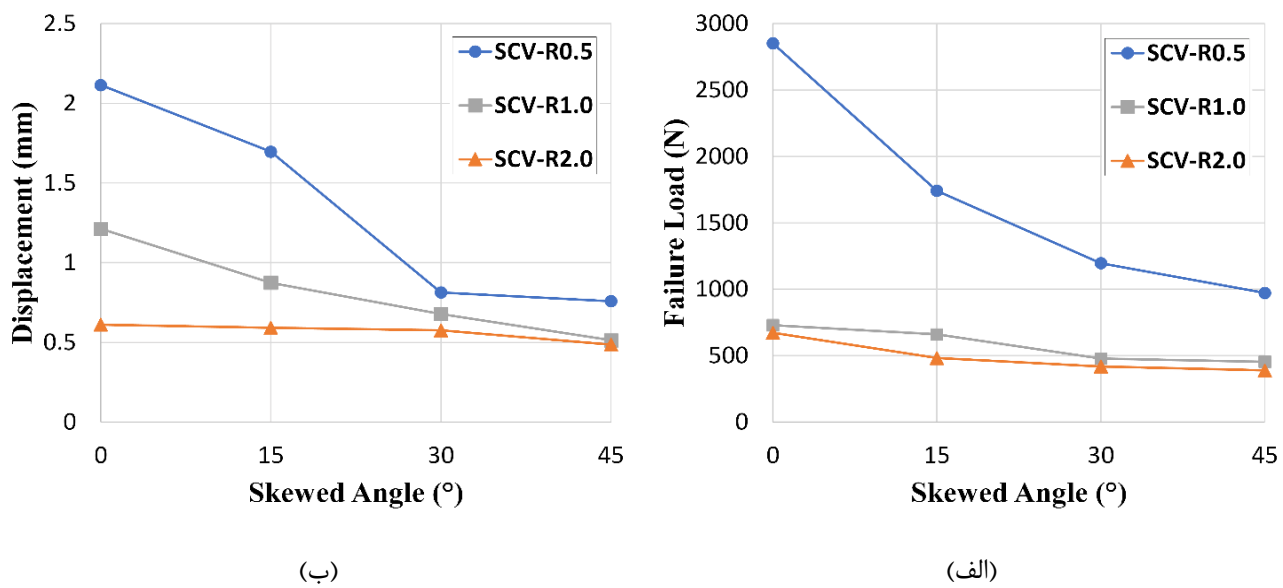
شکل ۱۱. نتایج طاق‌های نیم‌دایره با محوریت نسبت ابعاد: (الف) تغییرات بار شکست و (ب) تغییرات بیشینه تغییرمکان

Fig. 11. Results of semi-circular based on aspect ratio: a) failure load variations and b) Max. displacement variations

تمامی مدل‌ها می‌توان گفت که طاق آجری نیم‌دایره در اثر تورب با کاهش ظرفیت باربری و بیشینه تغییرمکان همراه است. به عبارت دیگر بار شکست و بیشینه تغییرمکان طاق مورب با زاویه‌ی اریب 45° از نمونه‌ی مشابه غیرمورب کمتر است. ظرفیت باربری طاق غیرمورب با نسبت ابعاد $1/2$ و $1/5$ به ترتیب $77/37\%$ ، $42/27\%$ و $65/92\%$ از نمونه‌ی متناظر مورب با زاویه‌ی اریب 45° بیشتر است. بیشینه تغییر مکان قائم طاق غیرمورب با نسبت ابعاد

ملات گچ برای چهار زاویه اریب (0° ، 15° ، 30° و 45°) و سه نسبت ابعاد ($1/1$ ، $1/2$ و $1/5$) مورد بررسی قرار می‌گیرند. مطابق با شکل ۴ منظور از نسبت

ابعاد طاق، نسبت دهانه به عمق طاق ($\frac{D}{L}$) می‌باشد. در شکل ۱۱ نتایج تحلیلی بار شکست و بیشینه تغییرمکان برای دو حالت مورب و غیرمورب مطابق با برنامه جدول ۴ ارائه می‌شود. مطابق با آنچه در شکل ۱۱ و ۱۲ دیده می‌شود، با مقایسه‌ی نتایج بین



شکل ۱۲. نتایج طاق‌های نیم‌دایره با محوریت زاویه اریب: (الف) تغییرات بار شکست ، ب) تغییرات بیشینه تغییرمکان

Fig. 12. Results of semi-circular based on angle of skew: a) failure load variations and b) Max. displacement variations

اریب 45° و غیرمرب و $32/32\%$. $42/68\%$. افزایش برای نسبت ابعاد $0/5$ در دو حالت مورب با زاویه اریب 45° و غیرمرب مشاهده می‌شود.

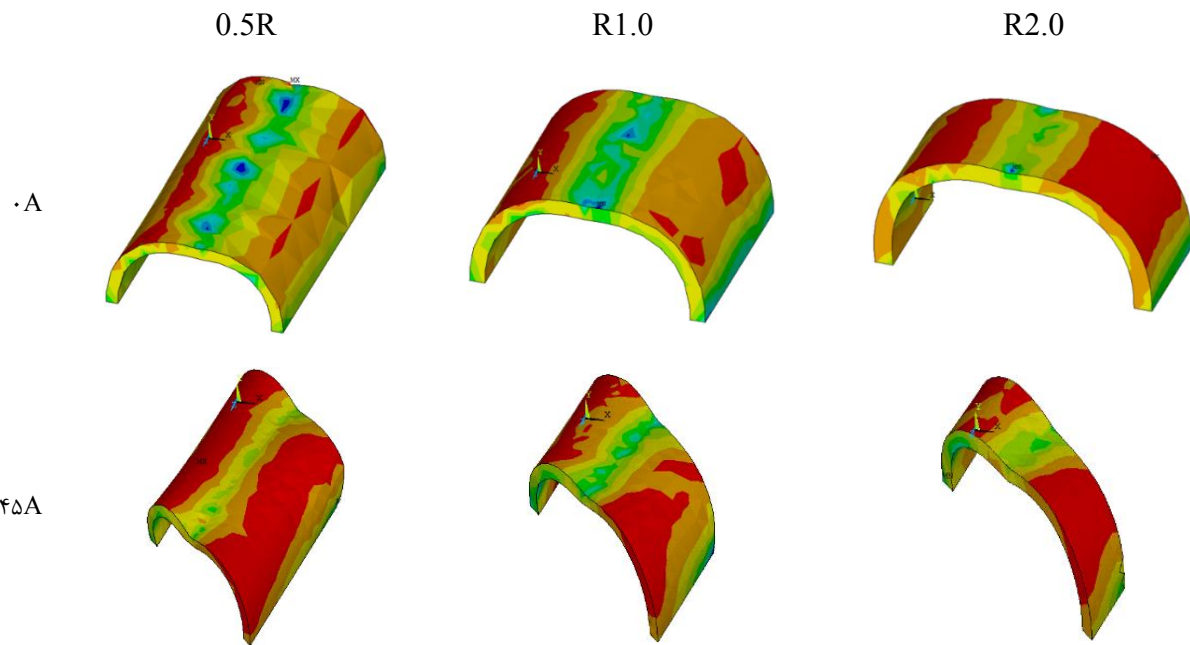
همان طور که بیان شد کاهش ظرفیت باربری یا همان بار شکست و بیشینه تغییرمکان طاق در لحظه نظیر شکست با وقوع تورب کاهش می‌یابد. دلیل این رفتار می‌تواند به علت عدم توزیع همگن تنش در بدنهٔ طاق، افزایش رفتار پیچشی در سازه و عدم توزیع یکنواخت نیرو در پایه‌های طاق باشد.

شکل ۱۲ حساسیت تغییرات ظرفیت باربری و بیشینه تغییرمکان را نسبت به زاویه اریب نشان می‌دهد. مطابق شکل ۱۲ شدت و حساسیت تغییرات رفتار طاق در وقوع تورب برای نسبت ابعاد $0/5$ تا 1 به مراتب بیشتر از سایر نسبت‌هاست. همچنین می‌توان گفت وقوع تورب تاثیر قابل توجهی در طاق‌های با عمق کم ندارد. به بیان دیگر زمانی که طاق از لحاظ هندسی به تعریف قوس نزدیک‌تر می‌شود، شدت تورب بر ظرفیت باربری و بیشینه تغییرمکان آن تاثیر چندانی نمی‌گذارد.

همچنین بر اساس تحلیل‌های عددی، کانتورهای تنش و مدل‌های تغییر شکل یافته‌ی طاق‌ها ارائه می‌گردد. شکل ۱۳ توزیع تنش در برابر با بار خطی در وسط دهانه بر اساس معیار شکست ویلام-وارنک نشان می‌دهد. بیشینه

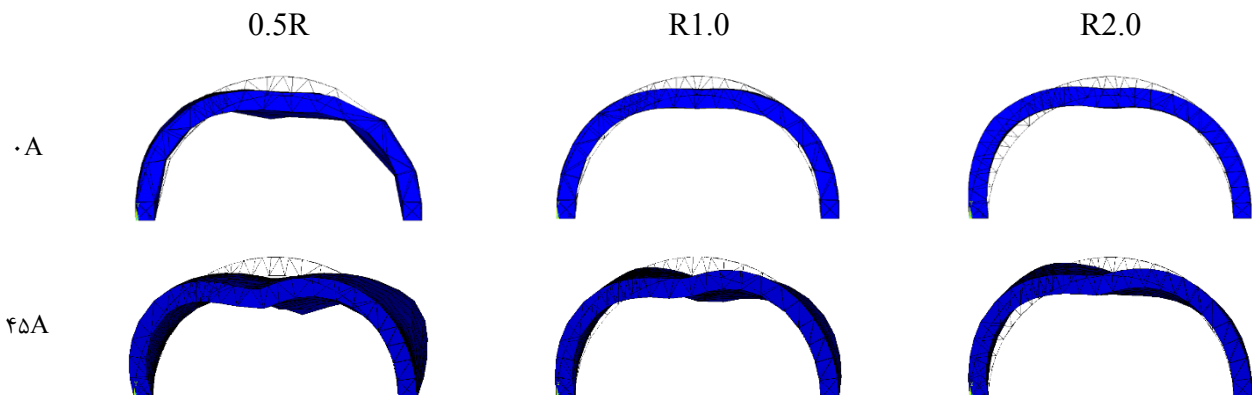
اریب 45° به ترتیب $57/67\%$. $20/46\%$. $64/14\%$. بیشتر از نمونه‌های مشابه مورب با زاویه اریب 45° می‌باشد.

بر اساس نتایج شکل ۱۱، با تغییر نسبت ابعاد طاق ظرفیت باربری و بیشینه تغییر مکان یک طاق تغییر می‌کند. کمترین ظرفیت باربری متعلق به طاقی است که با کاهش عمق (نسبت ابعاد 2 ، رفتاری مشابه به یک قوس داشته و همین موضوع موجب به از دست رفتن ظرفیت نهایی طاق می‌شود. این موضوع هم در حالت مورب و هم در حالت غیر مورب صدق می‌کند. نسبت به مدلی که سازه عمق و دهانه برابر دارد یعنی نسبت ابعاد $1/41$ و $7/75\%$ از ظرفیت باربری به ترتیب در دو حالت مورب با زاویه اریب 45° و غیر مورب کاسته می‌شود. بیشترین ظرفیت باربری متعلق به طاقی است که عمق بیشتری داشته و سازه از تعریف قوس بسیار فاصله می‌گیرد (نسبت ابعاد $0/5$). این طاق‌ها نسبت به مدل با نسبت ابعاد $1/31$ و $53/31\%$ و $74/43\%$ در دو حالت مورب با زاویه اریب 45° و غیرمرب ظرفیت باربری بیشتری دارند. بیشینه تغییرمکان‌ها هم دچار رفتاری مشابه می‌شوند. هم در حالت مورب و هم غیر مورب با کاهش عمق از بیشینه تغییرمکان کاسته و با افزایش عمق به بیشینه تغییر مکان افزوده می‌شود. در قیاس با نسبت ابعاد 1 ، کاهش برای نسبت ابعاد $0/5$ و $49/59\%$. کاهش برای نسبت ابعاد 2 در دو حالت مورب با زاویه



شکل ۱۳. توزیع تنش ناشی از بار خطی ثقلی یکنواخت در معیار شکست ویلام-وارنک

Fig. 13. Stress Contour for uniform linear load based on Willam-Warnke failure criteron



شکل ۱۴. تغییرشکل قائم طاق ها

Fig. 14. Vertical deformation of vaults

متقارن قطری^۳ به ترتیب برای مدل های غیرمرب و مرب اشاره کرد.

تنش های ایجاد شده، در دو نیمه هی طاق اتفاق افتاده و در هر دو حالت غیر مرب و مرب متقارن در توزیع تنش دیده می شود ولی در طاق مرب به علت وقوع تورب متقارن قطری مشاهده می گردد. نسبت ابعاد در مکان هندسی بیشینه تنش در طرفین طاق تاثیر چشمگیری نداشته و متقارن توزیع تنش را برهمنمی زند. بر اساس شکل ۱۴ نیز می توان بر تغییر شکل متقارن^۱ و

۵- نتیجه گیری

این مقاله به بررسی اثر تورب در طاق های آجری نیم دایره به کمک مدل آزمایشگاهی و تحلیل های المان محدود در فضای نرم افزار ANSYS

-۳ اختلاف کم بین نتایج آزمایشگاهی و تحلیل‌های المان محدود و همچنین محل تقریبی مکان هندسی وقوع ترک که نظیر بیشینه تنش می‌باشد، کفايت معیار شکست ویلام-وارنک را برای مدل‌سازی هرچه بهتر رفتار مصالح بنایی نشان می‌دهد.

در پایان نتایج این مطالعه نشان می‌دهد که طاق‌های آجری نیم‌دایره مورب نیاز بیشتری به مرمت، بهسازی و پایش سلامت^۱ دارند چرا که نسبت به نمونه‌های مشابه غیرمورب دارای ظرفیت باربری و بیشینه تغییرمکان کمتری هستند.

منابع

- [1] H. Zomarshidi, Dome and Vault Element of Iran, Zaman, Tehran, 2010. (in Persian)
- [2] J. Martín-Caro, G. Morales, Numerical analysis of a load test on a skewed masonry arch bridge, in: ARCH'07: 5th International Conference on Arch Bridges, 2007, pp. 569-576.
- [3] V. Sarhosis, D.V. Oliveira, J.V. Lemos, P.B. Lourenço, The effect of skew angle on the mechanical behaviour of masonry arches, Mechanics Research Communications, 61 (2014) 53-59.
- [4] T. Forgács, V. Sarhosis, K. Bagi, Minimum thickness of semi-circular skewed masonry arches, Engineering Structures, 140 (2017) 317-336.
- [5] T. Forgács, V. Sarhosis, K. Bagi, Influence of construction method on the load bearing capacity of skew masonry arches, Engineering Structures, 168 (2018) 612-627.
- [6] A. Naggasa, L. Augustus Nelson, B. Haynes, Use of finite element analysis to investigate the structural behaviour of masonry arch bridges subject to foundation settlement, in: 10th International Masonry Conference, 2018.
- [7] G. Angjeliu, G. Cardani, D. Coronelli, A parametric model for ribbed masonry vaults, Automation in Construction, 105 (2019) 102785.
- [8] M. Alfonso, C. Calderini, A. Monaco, F. Venuti, Numerical modelling of masonry vaults with different brick pattern, in: Proceedings of IASS Annual Symposia,

پرداخته است. مشخصات مصالح بصورت محزا آزمایش شده و در مدل‌سازی عددی استفاده شده است. مدل المان محدود توسعه یافته بر اساس مدل آزمایشگاهی صحت سنجی شده و تاثیر نسبت ابعاد طاق نیم‌دایره برای سه نسبت (۰/۵ و ۰/۲) و زاویه‌ی اریب طاق در چهار حالت (۰°، ۱۵° و ۳۰° و ۴۵°) مورد بررسی قرار گرفته است. در همین راستا ۱۲ مدل المان محدود با دیدگاه ماکرو با بهره‌گیری از معیار شکست ویلام-وارنک تحلیل شده‌اند. بر مبنای مطالعات انجام شده نتایج زیر بدست آمده است.

۱- در تمامی مدل‌ها و حالات طاق آجری نیم‌دایره با سه مفصل پلاستیک (سه ترک) از باربری خارج و به بیشینه ظرفیت باربری خود می‌رسد. دو ترک در دو نیمه طاق و یک ترک در زیر بار مرکز اتفاق می‌افتد. ترک در دو نیمه به علت بیشینه شدن تنش‌ها و در راس طاق به علت مرکز تنش ناشی از حضور بار می‌باشد.

۲- مقایسه ظرفیت باربری مدل‌ها نشان می‌دهد چه در حالت مورب و چه در حالت غیرمورب طاق با افزایش عمق، یعنی زمانی که طاق از رفتار قوس فاصله می‌گیرد، ظرفیت باربری افزایش می‌یابد. ظرفیت باربری طاق غیرمورب با نسبت ابعاد ۰/۵، ۰/۴۲٪ بیشتر از نمونه‌ی مشابه با نسبت ابعاد ۰/۰۶٪ می‌باشد. این موضوع برای طاق مورب با زاویه‌ی اریب ۴۵° نیز با افزایش ۰/۰۵٪ بین مدل‌های نسبت ابعاد ۰/۵ و ۰/۲ برقرار می‌باشد.

۳- افزایش عمق طاق حساسیت سازه را به مورب شدن بیشتر می‌کند. توضیح بیشتر آن که در مقایسه‌ی مدل‌های نظیر به نظر مورب با غیرمورب هر گاه عمق طاق به بیشترین مقدار رسیده اختلاف نتایج بین حالت مورب و غیرمورب افزایش یافته است. پس می‌توان گفت هر چه سازه به تعریف بنیادی طاق نزدیکتر و از تعریف قوس فاصله می‌گیرد حساسیت بیشتری به زاویه اریب دارد. بار شکست طاق غیرمورب با نسبت ابعاد ۰/۵، ۰/۶۵٪ بیشتر از نمونه‌ی متناظر مورب با زاویه‌ی اریب ۴۵° است ولی این اختلاف در نسبت ابعاد ۰/۲، ۰/۲۶٪ مشاهده می‌شود.

۱- تورب بار شکست و بیشینه تغییرمکان طاق نیم‌دایره را کاهش می‌دهد. در این رابطه حساسیت سازه به مقدار زاویه‌ی اریب در بازه بین ۰° تا ۳۰° بیشتر است و بعد از مقدار ۳۰° شدت تغییرات در رفتار سازه کمتر می‌شود.

۲- یکی دیگر از آثار زاویه اریب در تغییر شکل قائم طاق است. در طاق‌های مورب به صورت متقارن قطری و در طاق‌های غیرمورب به صورت متقارن است. همچنین در تمامی نمونه‌ها مشاهده گردید در بازه ترد بودن مصالح بنایی طاق‌ها در تغییرمکان‌های کوچک شکسته می‌شود.

- for determination of static modulus of elasticity in compression, in, BSI, 1983.
- [18] S.M. Moayedian, M. Hejazi, Stress-strain relationships for scaled gypsum mortar and cement mortar brick masonry, Journal of Building Engineering, 33 (2021) 101861.
- [19] BSI, BS EN 1052-2: 1999. Methods of test for masonry–Part 2: Determination of flexural strength, in, BSI London, UK, 1999.
- [20] B. EN, 1052-1: Methods of test for masonry, Part 1: Determination of compressive strength, European Committee for Standardization: Bruxelles, Belgium, (1998).
- [21] H. Zomarshidi, Vault and Arch in Iranian Architecture, Keihan, Iran, 1988. (in Persian)
- [22] K.J. Willam, Constitutive model for the triaxial behaviour of concrete, Proc. Intl. Assoc. Bridge Structl. Engrs, 19 (1975) 1-30.
- [23] W. Chen, D. Han, Yield and failure criteria, in: Plasticity for Structural Engineers, Springer, 1988, pp. 46-116.
- [24] M. Betti, M. Orlando, A. Vignoli, Static behaviour of an Italian Medieval Castle: Damage assessment by numerical modelling, Computers & structures, 89(21-22) (2011) 1956-1970.
- [25] P. Pineda, M. D Robador, M. A Gil-Marti, Seismic damage propagation prediction in ancient masonry structures: an application in the non-linear range via numerical models, The Open Construction and Building Technology Journal, 5(1) (2011).
- [26] M. Hejazi, S. Baranizadeh, M. Daei, Performance of Persian brick masonry single-shell domes subjected to uniform pressure and concentrated load, in: Structures, Elsevier, 2021, pp. 1710-1719.
- International Association for Shell and Spatial Structures (IASS), 2019, pp. 1-8.
- [9] M. Hejazi, Y. Soltani, Parametric study of the effect of hollow spandrel (Konu) on structural behaviour of Persian brick masonry barrel vaults, Engineering Failure Analysis, 118 (2020) 104838.
- [10] P. Zampieri, C.D. Tetougueni, C. Pellegrino, Nonlinear seismic analysis of masonry bridges under multiple geometric and material considerations: Application to an existing seven-span arch bridge, Structures, 34 (2021) 78-94.
- [11] A. Dell'Endice, A. Iannuzzo, M.J. DeJong, T. Van Mele, P. Block, Modelling imperfections in unreinforced masonry structures: Discrete Element simulations and scale model experiments of a pavilion vault, Engineering Structures, 228 (2021) 111499.
- [12] M. Hejazi, R. Sadeghi, Effect of Brick Arrangement on Structural Behaviour of Persian Brick Masonry Barrel Vaults by Micro-Modelling, Engineering Failure Analysis, (2022) 106033.
- [13] P. Mahmoudi, P. Asadi, M.R. Eftekhar, The effect of geometric dimensions on the lateral bearing capacity of the masonry arches, in: Structures, Elsevier, 2022, pp. 1350-1365.
- [14] F. Roselli, M. Alfonso, F. Venuti, A.M. Bertetto, Experimental Investigation of the Effect of Brick Pattern on the Structural Response of Masonry Arches and Barrel Vaults, Available at SSRN 4261578.
- [15] Basic Analysis Guide for ANSYS 19, in, SAS IP Inc, New York, 2017.
- [16] B.S. Institution, Gypsum binder and gypsum plasters part 2: Test Methods, in, BSI, 2014.
- [17] B.S. Institution, Testing concrete Part 121: Method

چگونه به این مقاله ارجاع دهیم

S. Sinaei, E. Izadi Zamanabadi, S. J. Hoseini, Experimental and Analytical Study of the Effect of Skewed Angle on the Bearing Capacity of Semi-circular Brick Vaults , Amirkabir J. Civil Eng., 55(4) (2023) 911-926.

DOI: [10.22060/ceej.2023.21051.7606](https://doi.org/10.22060/ceej.2023.21051.7606)

